

01,10

## Распространение однополярных импульсных возмущений в кристаллических твердых телах с дислокационным гистерезисом Гранато–Люкке

© В.Е. Назаров, С.Б. Кияшко

Институт прикладной физики РАН,  
Нижний Новгород, Россия

E-mail: v.e.nazarov@appl.sci-nnov.ru

Поступила в Редакцию 18 марта 2024 г.

В окончательной редакции 19 марта 2024 г.

Принята к публикации 21 марта 2024 г.

Проведено теоретическое исследование нелинейного распространения однополярных импульсных возмущений в кристаллических твердых телах с дислокационным гистерезисом Гранато–Люкке. Получено точное аналитическое решение, описывающее распространение и эволюцию первоначального возмущения — полупериода синусоидального колебания. Определены зависимости формы, амплитуды и длительности возмущения в среде от его начальной амплитуды и пройденного расстояния. Проведен численный и графический анализ полученного решения.

**Ключевые слова:** амплитудно-зависимое внутреннее трение, упругие волны.

DOI: 10.61011/FTT.2024.04.57782.55

### 1. Введение

Теория волновых процессов в идеальных (без диссипации) однородных средах со степенной (квадратичной или кубической) упругой нелинейностью развита в достаточной мере [1–4]. При распространении в таких средах однополярных импульсных возмущений имеет место их нелинейное искажение. Вначале происходит укручение фронта возмущения (переднего или заднего, — в зависимости от знака параметра нелинейности среды), а затем в его профиле образуется неоднозначность или „перехлест“. Вследствие физической нереализуемости „перехлеста“, в профиль возмущения искусственно вводится разрыв — ударный фронт. В результате форма возмущения в среде становится пилообразной, при этом его длительность растет, а амплитуда и энергия уменьшаются (из-за нелинейных потерь на разрыве), но количество движения возмущения сохраняется.

Исследования амплитудно-зависимого внутреннего трения (АЗВТ) в кристаллических твердых телах (металлах, сплавах и горных породах), содержащих дислокации, свидетельствуют о том, что такие материалы характеризуются гистерезисной нелинейностью, значительно превышающей слабую упругую нелинейность однородных сред (без дефектов). В гистерезисных средах закономерности волновых процессов отличаются от аналогичных закономерностей для сред со степенной упругой нелинейностью, в частности, укручения фронтов и „перехлеста“ в профиле волны может не возникать, но волна нелинейно искажается и затухает (из-за гистерезисных потерь) [5]. В связи с широкой распространенностью подобных материалов, теоретическое исследование нелинейных волновых процессов в гистерезисных средах

является актуальной задачей физики твердого тела, что составляет основу для изучения динамики дислокаций под действием знакопеременных упругих напряжений и определения механизмов гистерезисной нелинейности кристаллических твердых тел [6–8].

К настоящему времени единственной микроскопической теорией, определяющей гистерезисное уравнение состояния кристаллических твердых тел, т.е. зависимость  $\sigma = \sigma(\varepsilon, \dot{\varepsilon})$ , где  $\sigma$ ,  $\varepsilon$  и  $\dot{\varepsilon}$  — напряжение, деформация и скорость деформации, является дислокационная теория поглощения Гранато–Люкке [9–11]. В этой теории гистерезис в уравнении состояния кристалла связывается с отрывом сегментов дислокаций от примесных атомов и их различным поведением на стадиях нагрузки и разгрузки. Площадь петли гистерезиса определяет нелинейные потери волны, а производные  $\sigma_\varepsilon(\varepsilon, \dot{\varepsilon})$  — скорости распространения переднего и заднего фронтов волны. В теории Гранато–Люкке выражение для гистерезисных потерь получено в неволновом приближении, когда длина образца много меньше длины волны, а амплитуда напряжения в среде равна амплитуде гармонического напряжения на границе среды. Теоретических исследований нелинейного распространения упругих волн в гистерезисных твердых телах в рамках дислокационной теории Гранато–Люкке не проводилось. А между тем, закономерности волновых эффектов АЗВТ в средах с гистерезисной нелинейностью будут отличаться от закономерностей этих же эффектов при их неволновом описании, поскольку проявления гистерезисных свойств среды накапливаются в нелинейных искажениях волны при ее распространении. Выявление закономерностей волновых эффектов может быть направлено на определение механизмов гистерезисной нелинейности

кристаллических твердых тел и изучения динамики дислокаций в различных кристаллах, а также для создания методов их нелинейной акустической диагностики и неразрушающего контроля.

Отметим, что для многих кристаллических твердых тел [5,6,8,12] амплитудные зависимости эффектов АЗВТ не соответствуют гистерезису Гранато–Люкке. Тем не менее, решение задачи о нелинейном распространении упругих волн и импульсных возмущений в твердых телах с дислокационным гистерезисом Гранато–Люкке представляет определенный интерес, так как дает правильное качественное представление о нелинейных волновых процессах в подобных средах. Такое решение также полезно в качестве эталонного при анализе и сравнении закономерностей нелинейных волновых процессов в твердых телах с другими видами гистерезисной нелинейности.

В настоящей работе проводится теоретическое исследование распространения однополярных импульсных возмущений в кристаллических твердых телах с дислокационной гистерезисной нелинейностью Гранато–Люкке. Специфика такой задачи заключается в том, что гистерезис Гранато–Люкке нельзя представить в виде степенного ряда — ряда Тэйлора, и, таким образом, получить решение волновой задачи из решений для сред со степенным гистерезисом [5]. Здесь, в рамках дислокационной теории Гранато–Люкке, все волновые эффекты АЗВТ также будут связаны с проявлением гистерезиса, однако их закономерности будут другими, отличными от закономерностей для сред со степенной гистерезисной нелинейностью.

## 2. Основные уравнения

Из дислокационной теории Гранато–Люкке [9,10] следует, что гистерезисное уравнение состояния кристаллического твердого тела (для сдвиговых напряжений  $\sigma = \sigma_{xy}$  и деформаций  $\varepsilon = \partial U_y / \partial x$ ) имеет вид

$$\sigma(\varepsilon, \dot{\varepsilon}) = G_0[\varepsilon - f(\varepsilon, \dot{\varepsilon})], \quad (1)$$

$$f(\varepsilon, \dot{\varepsilon}) = D \begin{cases} [1 + (\varepsilon/\beta)] \exp(-\beta/\varepsilon), & \varepsilon \geq 0, \dot{\varepsilon} > 0, \\ [1 + (\varepsilon_m/\beta)](\varepsilon/\varepsilon_m) \exp(-\beta/\varepsilon_m), & \varepsilon \geq 0, \dot{\varepsilon} < 0, \\ -[1 - (\varepsilon/\beta)] \exp(\beta/\varepsilon), & \varepsilon \leq 0, \dot{\varepsilon} < 0, \\ [1 + (\varepsilon_m/\beta)](\varepsilon/\varepsilon_m) \exp(-\beta/\varepsilon_m), & \varepsilon \leq 0, \dot{\varepsilon} > 0, \end{cases} \quad (2)$$

где  $U_y = U_y(x, t)$  —  $y$ -компонента смещения,

$$G_0 = G/(1 + QG), \quad D = \gamma^3 \Gamma Q/6, \quad \gamma = L_N/L_c \gg 1,$$

$$\Gamma = \pi f_m/4aL_c, \quad f_m \approx U_0/a,$$

$$Q = 48a^2 \Lambda L_c^2 / \pi^4 C = 24(1 - \nu) L_c^2 \Lambda / \pi^3 G,$$

$$C = 2Ga^2 / \pi(1 - \nu), \quad \beta = \Gamma/G_0,$$

$G$  — модуль сдвига кристалла без дислокаций,  $a$  — модуль вектора Бюргерса,  $U_0$  — энергия связи дислокации с примесным атомом,  $\Lambda$  — плотность дислокаций,  $L_c$  — расстояние между примесными атомами вдоль оси дислокации,  $L_N$  — длина дислокации,  $\nu$  — коэффициент Пуассона,  $f(\varepsilon, \dot{\varepsilon})$  — гистерезисная функция,  $|f(\varepsilon, \dot{\varepsilon})| \ll |\varepsilon| \ll 1$ ,  $f(\varepsilon = 0, \dot{\varepsilon}) = 0$ ,  $\varepsilon_m/\beta < 1$ ,  $\varepsilon_m$  — амплитуда деформации.

Приведем характерные оценки для параметров  $G_0$ ,  $\beta$  и  $D$  гистерезисного уравнения состояния (1), (2). Полагая, что  $G = 4 \cdot 10^{10}$  кг/м · с<sup>2</sup>,  $\nu = 0.25$ ,  $a = 4 \cdot 10^{-10}$  м,  $L_c = 5 \cdot 10^{-8}$  м,  $\Lambda = 10^{12}$  м<sup>-2</sup>,  $\gamma = 50$ ,  $U_0 = 2 \cdot 10^{-20}$  Дж, получим:

$$QG = 24(1 - \nu)L_c^2 \Lambda / \pi^3 \approx 1.5 \cdot 10^{-3} \ll 1,$$

$$G_0 \approx G, \quad f_m \approx 5 \cdot 10^{-11} \text{ кг} \cdot \text{м}/\text{с}^2, \quad D \approx 10^{-3},$$

$$\beta = \Gamma/G_0 \approx 2.5 \cdot 10^{-5}.$$

Необходимо отметить, что в выражении (2) амплитуда  $\varepsilon_m$  не является начальной амплитудой деформации  $\varepsilon_0$ , заданной на границе поликристалла (как в [9,10]), т.е.  $\varepsilon_m \neq \varepsilon_0$ . Амплитуда  $\varepsilon_m$  определяется максимальной деформацией волны в среде; по мере распространения волны (вдоль оси  $x$ ) и ее нелинейного затухания амплитуда  $\varepsilon_m$  уменьшается, поэтому  $\varepsilon_m = \varepsilon_m(\varepsilon_0, x) \neq \varepsilon_0$ .

Вообще говоря, в уравнении состояния (1) нужно учитывать и линейное диссипативное слагаемое  $\eta \dot{\varepsilon}$ , где  $\eta$  — коэффициент линейной диссипации среды, однако им можно пренебречь, если рассматривать достаточно сильные и медленные возмущения, для которых выполняется неравенство:  $G_0|f(\varepsilon, \dot{\varepsilon})| \gg \eta|\dot{\varepsilon}|$  [9]. В этом случае удается получить точные решения для простых волн [1,3]. (Учет линейного диссипативного слагаемого предотвращает образование „перехлеста“ и сглаживает „острые углы“ в профиле нелинейной волны, но при этом не удается получить аналитического выражения для самой волны.)

Отметим, что аналогичный гистерезис имеет место и для продольных напряжений и деформаций. В теории Гранато–Люкке [9,10], для перехода от сдвиговых напряжений и деформаций к продольным, применяются, так называемые, ориентационные множители, учитывающие направление распространения продольной волны по отношению к плоскостям и направлениям скольжения в кристалле и распределение дислокаций по всем системам скольжения, при этом в уравнении (1) модуль сдвига  $G$  следует заменить на  $K + 4G/3$  ( $K$  — модуль всестороннего сжатия) — для безграничной среды или на модуль Юнга — для стержня. Таким образом, в дислокационной теории Гранато–Люкке, с точностью до постоянных коэффициентов, гистерезисное уравнение состояния для продольных напряжений и деформаций будет таким же, как и для сдвиговых.

Подставляя уравнение состояния (1) в уравнение движения  $\rho U_{tt} = \sigma_x(\varepsilon, \dot{\varepsilon})$  [13], и переходя к сопровождающей системе координат  $\tau = t - x/C_0$ ,  $x' = x \geq 0$  [1],

получим одноволновое уравнение для простых волн сдвиговой деформации  $\varepsilon(x, \tau) = \partial U_y(x, \tau)/\partial x$ , распространяющихся вдоль оси  $x$ :

$$\frac{\partial \varepsilon}{\partial x} = -\frac{1}{2C_0} \frac{\partial f(\varepsilon, \varepsilon_\tau)}{\partial \tau}, \quad (3)$$

где  $U_y = U_y(x, \tau)$  —  $y$ -компонента смещения,  $\rho$  — плотность,  $C_0 = (G_0/\rho)^{1/2}$  — скорость линейной волны.

Граничное условие зададим в виде однополярного возмущения — полупериода синусоидального колебания с частотой  $\omega$ :

$$\varepsilon(x = 0, t) = \varepsilon_0 \sin \omega t, \quad 0 \leq \omega t \leq \pi, \quad (4)$$

где  $\varepsilon_0$  и  $T = \pi/\omega$  — начальная амплитуда и длительность возмущения. Для определенности будем считать, что  $\varepsilon_0 > 0$ .

В безразмерных переменных волновое уравнение (3) и граничное условие (4) для нормированной деформации  $e(z, \theta) = \varepsilon(z, \theta)/\varepsilon_0 \geq 0$  имеют вид:

$$\frac{\partial e}{\partial z} = - \begin{cases} \left(1 + \frac{\beta}{\varepsilon_0 e} + \frac{\beta^2}{\varepsilon_0^2 e^2}\right) \exp\left(-\frac{\beta}{\varepsilon_0 e}\right) \frac{\partial e}{\partial \theta}, & e_\theta(z, \theta) > 0, \\ \left(1 + \frac{\beta}{\varepsilon_0 e_m(z)}\right) \exp\left(-\frac{\beta}{\varepsilon_0 e_m(z)}\right) \frac{\partial e}{\partial \theta}, & e_\theta(z, \theta) < 0, \end{cases} \quad (5)$$

$$e(z = 0, \theta) = \sin \theta, \quad 0 \leq \theta \leq \pi, \quad (6)$$

где

$$\theta = \omega(t - x/C_0) = \omega\tau, \quad z = \frac{D\omega x}{2\beta C_0} = \frac{\gamma^3 Q G_0 k x}{12},$$

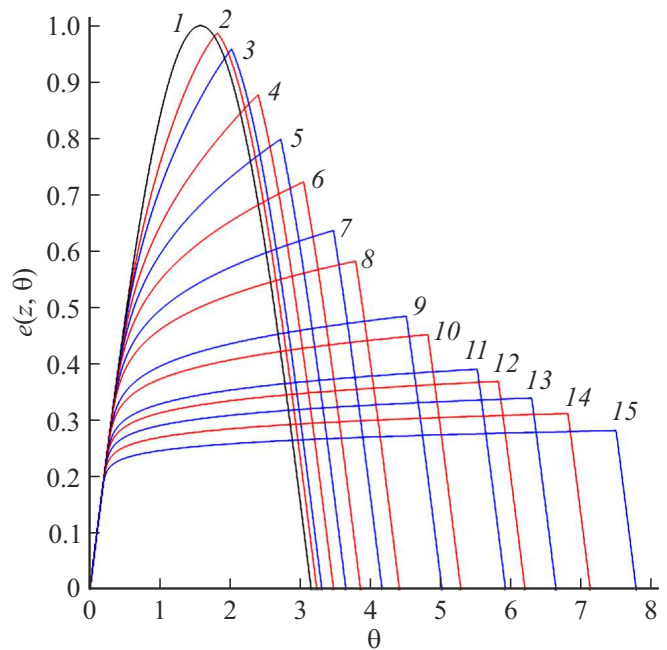
$$e_\theta(z, \theta) = \frac{\partial e(z, \theta)}{\partial \theta}, \quad e_m(z) = \frac{\varepsilon_m(z)}{\varepsilon_0} \leq 1,$$

$k = \omega/C_0$ ,  $\varepsilon_0/\beta < 1$ . Примечательно, что в безразмерных переменных, уравнение (5) и его решение зависят только от отношения начальной амплитуды возмущения  $\varepsilon_0$  к параметру  $\beta$ .

### 3. Эволюция однополярных импульсов деформации

При решении уравнения (5) мы будем пользоваться методом „сшивания“ простых волн, отвечающих каждой ветви гистерезиса (2) [5]. Такое „сшивание“ происходит при деформации  $e(z, \theta)$ , равной амплитуде  $e_m(z)$  возмущения при  $\theta = \theta_m(z)$ . Точное решение уравнения (5) с граничным условием (6) записывается в неявной форме и имеет следующий вид:

$$e(z, \theta) = \begin{cases} \sin\left(\theta - \left(1 + \frac{\beta}{\varepsilon_0 e} + \frac{\beta^2}{\varepsilon_0^2 e^2}\right) \exp\left(-\frac{\beta}{\varepsilon_0 e}\right) z\right), & e_\theta(z, \theta) > 0, \\ \sin\left(\theta - \int_0^z \left(1 + \frac{\beta}{\varepsilon_0 e_m(z_1)}\right) \exp\left(-\frac{\beta}{\varepsilon_0 e_m(z_1)}\right) dz_1\right), & e_\theta(z, \theta) < 0. \end{cases} \quad (7)$$



**Рис. 1.** Эволюция формы возмущения  $e(z, \theta)$  при  $\varepsilon_0/\beta = 1/5$  и различных значениях  $z$ : линия 1 —  $z = 0$ , 2 —  $z = 2$ , 3 —  $z = 4$ , 4 —  $z = 10$ , 5 —  $z = 2 \cdot 10$ , 6 —  $z = 4 \cdot 10$ , 7 —  $z = 10^2$ , 8 —  $z = 2 \cdot 10^2$ , 9 —  $z = 10^3$ , 10 —  $z = 2 \cdot 10^3$ , 11 —  $z = 10^4$ , 12 —  $z = 2 \cdot 10^4$ , 13 —  $z = 6 \cdot 10^4$ , 14 —  $z = 2 \cdot 10^5$ , 15 —  $z = 10^6$ .

На рис. 1 показана эволюция формы импульсного возмущения (6) при  $\varepsilon_0/\beta = 1/5$  и различных значениях  $z$ . Из рис. 1 видно, что с ростом  $z$  форма возмущения (7), его амплитуда  $e_m(z)$  и длительность  $\theta^*(z)$  сильно изменяются: в начале вершина возмущения обостряется, затем его форма стремится к трапецеидальной, при этом амплитуда  $e_m(z)$  уменьшается, а длительность  $\theta^*(z)$  растет. (Длительность возмущения  $\theta^*(z)$  определяется из уравнения  $e(z, \theta^*(z)) = 0$  при  $e_\theta(z, \theta) < 0$ ). Все это связано с тем, что искажение переднего ( $e_\theta(z, \theta) > 0$ ) и заднего ( $e_\theta(z, \theta) < 0$ ) фронтов возмущения определяются разными ветвями гистерезиса (2), при этом скорость движения переднего фронта возмущения больше скорости его заднего фронта.

Амплитуда  $e_m(z)$  определяется из уравнения (7) в точке  $\theta = \theta_m(z)$  пересечения переднего ( $e_\theta(z, \theta) > 0$ ,  $0 \leq \theta \leq \theta_m(z)$ ) и заднего ( $e_\theta(z, \theta) < 0$ ,  $\theta_m(z) \leq \theta \leq \theta^*(z)$ ) фронтов возмущения, т.е. в его вершине, когда  $e(z, \theta_m(z)) = e_m(z)$ :

$$e_m(z) = \begin{cases} \sin\left(\theta_m(z) - \left(1 + \frac{\beta}{\varepsilon_0 e_m(z)} + \frac{\beta^2}{\varepsilon_0^2 e_m^2(z)}\right) \exp\left(-\frac{\beta}{\varepsilon_0 e_m(z)}\right) z\right), \\ \sin\left(\theta_m(z) - \int_0^z \left(1 + \frac{\beta}{\varepsilon_0 e_m(z_1)}\right) \exp\left(-\frac{\beta}{\varepsilon_0 e_m(z_1)}\right) dz_1\right). \end{cases} \quad (8)$$

Из этого выражения получаем уравнение для  $z = z(e_m)$ :

$$\frac{dz}{de_m} - \left(1 - \frac{\beta}{\varepsilon_0 e_m}\right) \frac{z}{e_m} + \frac{2\varepsilon_0^2 e_m^2}{\beta^2 \sqrt{1 - e_m^2}} \exp\left(\frac{\beta}{\varepsilon_0 e_m}\right) = 0. \quad (9)$$

Из уравнения (9) находим трансцендентное решение для  $z = z(e_m)$ , а из уравнения (8) — выражения для  $\theta_m(z)$  и  $\theta^*(z)$ :

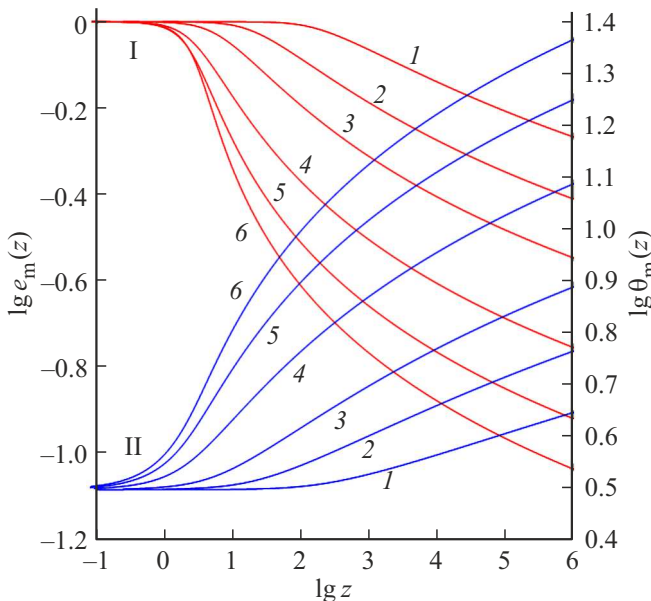
$$z = \frac{2\varepsilon_0^2 e_m(z) \sqrt{1 - e_m^2(z)}}{\beta^2} \exp\left(\frac{\beta}{\varepsilon_0 e_m(z)}\right). \quad (10)$$

$$\theta_m(z) = \arcsin e_m(z) + \frac{2\sqrt{1 - e_m^2(z)}}{e_m(z)} \times \left(1 + \frac{\varepsilon_0 e_m(z)}{\beta} + \frac{\varepsilon_0^2 e_m^2(z)}{\beta^2}\right), \quad (11)$$

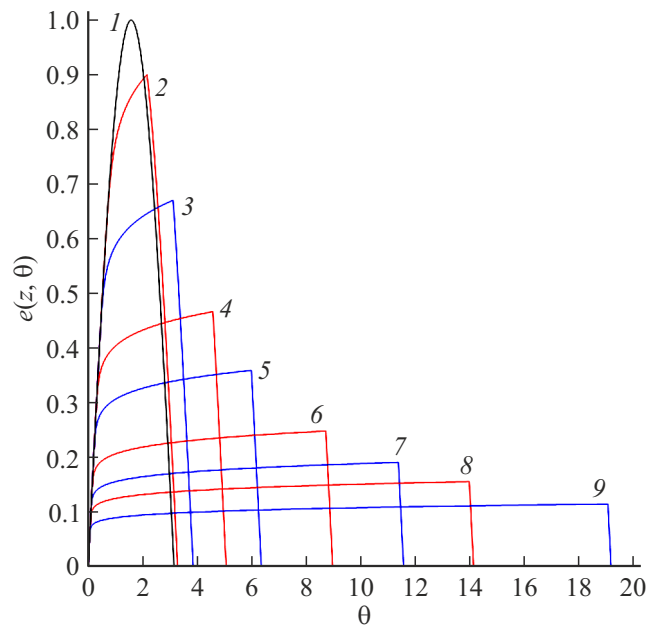
$$\theta^*(z) = 2 \arcsin e_m(z) + \frac{2\sqrt{1 - e_m^2(z)}}{e_m(z)} \times \left(1 + \frac{\varepsilon_0 e_m(z)}{\beta} + \frac{\varepsilon_0^2 e_m^2(z)}{\beta^2}\right). \quad (12)$$

Асимптотические решения уравнения (10) имеют вид:  $e_m(z) \approx 1 - (z/z_0)^2$  — при  $(z/z_0) \ll 1$ , где  $z_0 = 2^{3/2} \varepsilon_0^2 \times \exp(\beta/\varepsilon_0)/\beta^2$ , и  $e_m(z) \approx (\beta/\varepsilon_0)/\ln(\beta^2 z/2\varepsilon_0^2) \ll 1$  — при  $z \gg 2\varepsilon_0^2 \beta^2$ , или  $e_m(z) \approx \varepsilon_0 [1 - (z/z_0)^2] \propto \varepsilon_0$  — при  $(z/z_0) \ll 1$ , и  $e_m(z) \approx \beta/\ln(\beta^2 z/2\varepsilon_0^2) \ll \varepsilon_0$  — при  $z \gg 2\varepsilon_0^2/\beta^2$ .

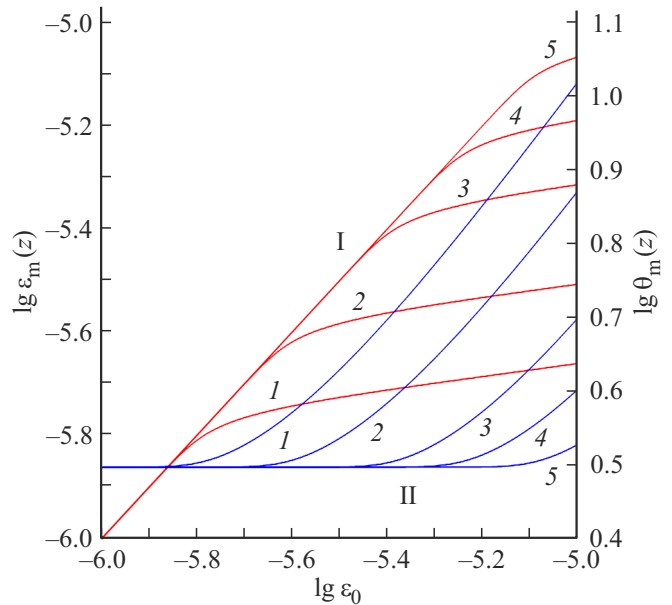
На рис. 2 приведены зависимости амплитуды  $e_m(z)$  и длительности возмущения  $\theta^*(z)$  от  $z$  при различных



**Рис. 2.** Зависимости амплитуды  $e_m(z)$  — (I) и длительности возмущения  $\theta^*(z)$  — (II) от  $z$  при различных значениях  $\varepsilon_0/\beta$ : линия 1 —  $\varepsilon_0/\beta = 1/10$ , 2 —  $1/7$ , 3 —  $1/5$ , 4 —  $1/3$ , 5 —  $1/2$ , 6 —  $2/3$ .



**Рис. 3.** Эволюция формы возмущения  $e = e(z, \theta)$  в зависимости от  $\varepsilon_0/\beta$  при  $z = 3 \cdot 10^4$ , линия 1 —  $\varepsilon_0/\beta \leq 3 \cdot 10^{-2}$ , 2 —  $\varepsilon_0/\beta = 7 \cdot 10^{-2}$ , 3 —  $\varepsilon_0/\beta = 10^{-1}$ , 4 —  $\varepsilon_0/\beta = 1.5 \cdot 10^{-1}$ , 5 —  $\varepsilon_0/\beta = 2 \cdot 10^{-1}$ , 6 —  $\varepsilon_0/\beta = 3 \cdot 10^{-1}$ , 7 —  $\varepsilon_0/\beta = 4 \cdot 10^{-1}$ , 8 —  $\varepsilon_0/\beta = 5 \cdot 10^{-1}$ , 9 —  $\varepsilon_0/\beta = 7 \cdot 10^{-1}$ .



**Рис. 4.** Зависимости амплитуды  $\varepsilon_m(z)$  — (I) и длительности возмущения  $\theta^*$  — (II) от  $\varepsilon_0$  при  $z = 10^3$  и различных значениях  $\beta$ : линия 1 —  $\beta = 2 \cdot 10^{-5}$ , 2 —  $\beta = 3 \cdot 10^{-5}$ , 3 —  $\beta = 5 \cdot 10^{-5}$ , 4 —  $\beta = 7 \cdot 10^{-5}$ , 5 —  $\beta = 10^{-4}$ .

значениях  $\varepsilon_0 \beta$ . Из выражений (10)–(12) следует, что площадь  $S(z)$  под кривой  $e = e(z, \theta)$  сохраняется:

$$S(z) = \int_0^{\theta^*} e(z, \theta) d\theta = 2 = \text{const.}$$

Более информативными проявлениями гистерезисной нелинейности среды являются зависимости формы возмущения  $e = e(z, \theta)$ , его амплитуды  $e_m(z)$  и длительности  $\theta^*(z)$  от начальной амплитуды  $\varepsilon_0$  (при  $z = \text{const}$ ), поскольку в твердом теле сложно менять положение приемника (координату  $z$ , т. е.  $x$ ), но можно легко менять амплитуду  $\varepsilon_0$ . На рис. 3 приведена эволюция формы возмущения  $e = e(z, \theta)$  в зависимости от  $\varepsilon_0/\beta$  при  $z = 3 \cdot 10^4$ . Здесь качественное поведение  $e = e(z, \theta)$  такое же, как и на рис. 1.

На рис. 4 приведены зависимости амплитуды  $\varepsilon_m(z)$  — (I) и длительности возмущения  $\theta^*(z)$  — (II) от  $\varepsilon_0$  при  $z = 10^3$  и различных значениях параметра  $\beta$ . При увеличении  $\varepsilon_0$  амплитуда возмущения  $\varepsilon_m(z)$  вначале растет линейно ( $\varepsilon_m(z) \propto \varepsilon_0$ ), затем — логарифмически медленно ( $\varepsilon_m(z) \approx \beta / \ln(\beta^2 z / 2\varepsilon_0^2) \ll \varepsilon_0$ ), т. е. имеет место тенденция к насыщению амплитуды  $\varepsilon_m(z)$ , а длительность  $\theta^*(z)$  — вначале  $\theta^*(z) = \text{const}$ , а затем —  $\theta^*(z) \propto \varepsilon_0$ .

## 4. Заключение

В заключение отметим, что эксперименты по распространению однополярных возмущений проводились в работах [14,15], в которых исследовалась эволюция продольных импульсов сжатия в стержнях из неотожженного и отожженного поликристаллического алюминия. В этих работах при увеличении начальной амплитуды возмущения наблюдались отмеченные выше закономерности, а именно, изменение формы возмущения (от колоколообразного — близкого к (4) до трапецеидального) без укручения переднего и заднего фронтов, а также насыщение амплитуды возмущения и рост его длительности. Было также обнаружено, что с ростом температуры отжига, сопровождающегося увеличением размеров зерна (и, соответственно, уменьшением плотности дислокаций [16]), акустическая нелинейность поликристаллического алюминия увеличивается. Качественные объяснения наблюдаемых эффектов в работе [14] проводилось в рамках упругой квадратичной нелинейности, характерной для однородных твердых тел [1], а в работе [15] — в рамках феноменологического гистерезиса, для которого  $\varepsilon \neq 0$  и  $f(\varepsilon, \dot{\varepsilon}) \neq 0$  при  $\sigma = 0$ . Последнее соответствует тому, что после прохождения первого (и каждого последующего) возмущения в твердом теле возникают необратимые пластические деформации. В результате, после воздействия каждого следующего возмущения гистерезисное уравнение состояния должно изменяться, что, по-видимому, может иметь место при больших напряжениях, превышающих предел упругости твердого тела, но не для акустических возмущений умеренной амплитуды. Развитая же теория нелинейного распространения однополярных импульсных возмущений в рамках дислокационного гистерезиса Гранато–Люкке объясняет все наблюдаемые закономерности без

возникновения в кристаллическом твердом теле пластических деформаций, поскольку  $\varepsilon = 0$  и  $f(\varepsilon, \dot{\varepsilon}) = 0$  при  $\sigma = 0$ .

## Финансирование работы

Работа выполнена в рамках Госзадания ИПФ РАН по темам № FFUF-2024-0035 и № 0030-2022-0005.

## Конфликт интересов

Авторы заявляют, что у них нет конфликта интересов.

## Список литературы

- [1] K.A. Naugol'nykh, L.A. Ostrovsky. *Nonlinear Wave Processes in Acoustics*. Cambridge University Press (1998). 298 с.
- [2] J.P. Lee-Bapty, D.G. Crighton. *Phylos. Trans. Roy. Soc. London A* **323**, 173 (1987).
- [3] Н.М. Рыскин, Д.И. Трубецков. *Нелинейные волны*. Наука, М. (2000). 272 с.
- [4] E.A. Zabolotskaya, M.F. Hamilton, Y.A. Pinskii, G.D. Meegan. *J. Acoust. Soc. Am.* **116**, 5, 2807 (2004).
- [5] V.E. Nazarov, A.V. Radostin. *Nonlinear acoustic waves in micro-inhomogeneous solids*. Chichester, John Wiley & Sons (2015). 251 p.
- [6] С.П. Никаноров, Б.К. Кардашев. *Упругость и дислокационная неупругость кристаллов*. Наука, М. (1985). 250 с.
- [7] Т. Судзуки, Х. Есианага, С. Такеути. *Динамика дислокаций и пластичность*. Мир, М. (1989). 296 с.
- [8] В.П. Левин, В.Б. Проскурин. *Дислокационная неупругость в металлах*. Наука, М. (1993). 272 с.
- [9] A. Granato, K. Lucke. *J. Appl. Phys.* **27**, 5, 583 (1956).
- [10] *Ультразвуковые методы исследования дислокаций*. Сб. статей / Пер. с англ. и нем. под ред. Л.Г. Меркулова. ИЛ, М. (1963). 376 с.
- [11] *Физическая акустика* / Под ред. У. Мезона. Мир, М. (1969). Т. 4. Ч. А. 476 с.
- [12] А.Б. Лебедев. *ФТТ* **41**, 7, 1214 (1999).
- [13] Л.Д. Ландау, Е.М. Лифшиц. *Теория упругости*. Наука, М. (1965). 204 с.
- [14] Y. Yasumoto, A. Nakamura, R. Takeuchi. *Acustica* **30**, 5, 260 (1974).
- [15] Y. Yasumoto, A. Nakamura, R. Takeuchi. *Acustica* **39**, 5, 307 (1978).
- [16] Р. Хоникомб. *Пластическая деформация металлов* / Пер. с англ. под ред. Б.Я. Любова. Мир, М. (1972). 408 с.

Редактор Т.Н. Василевская